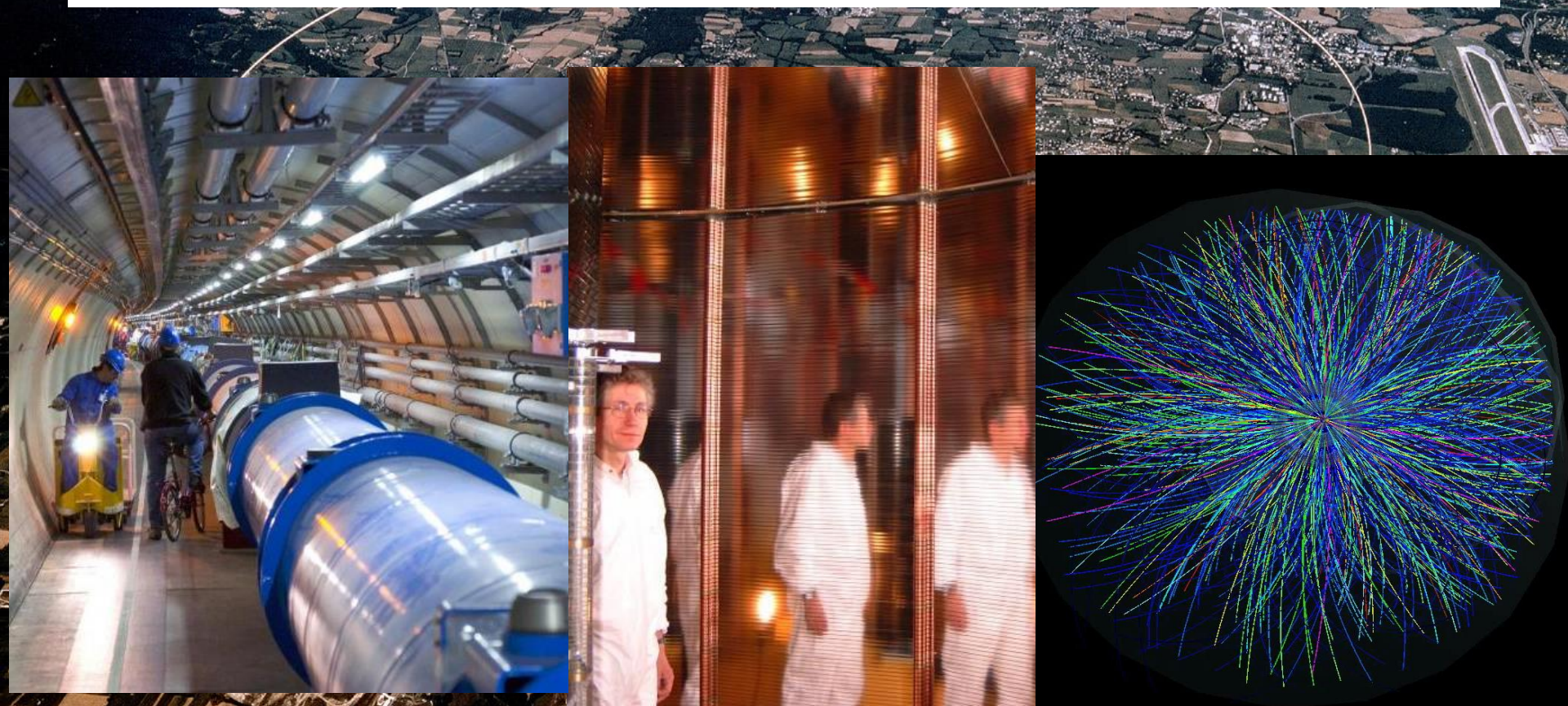
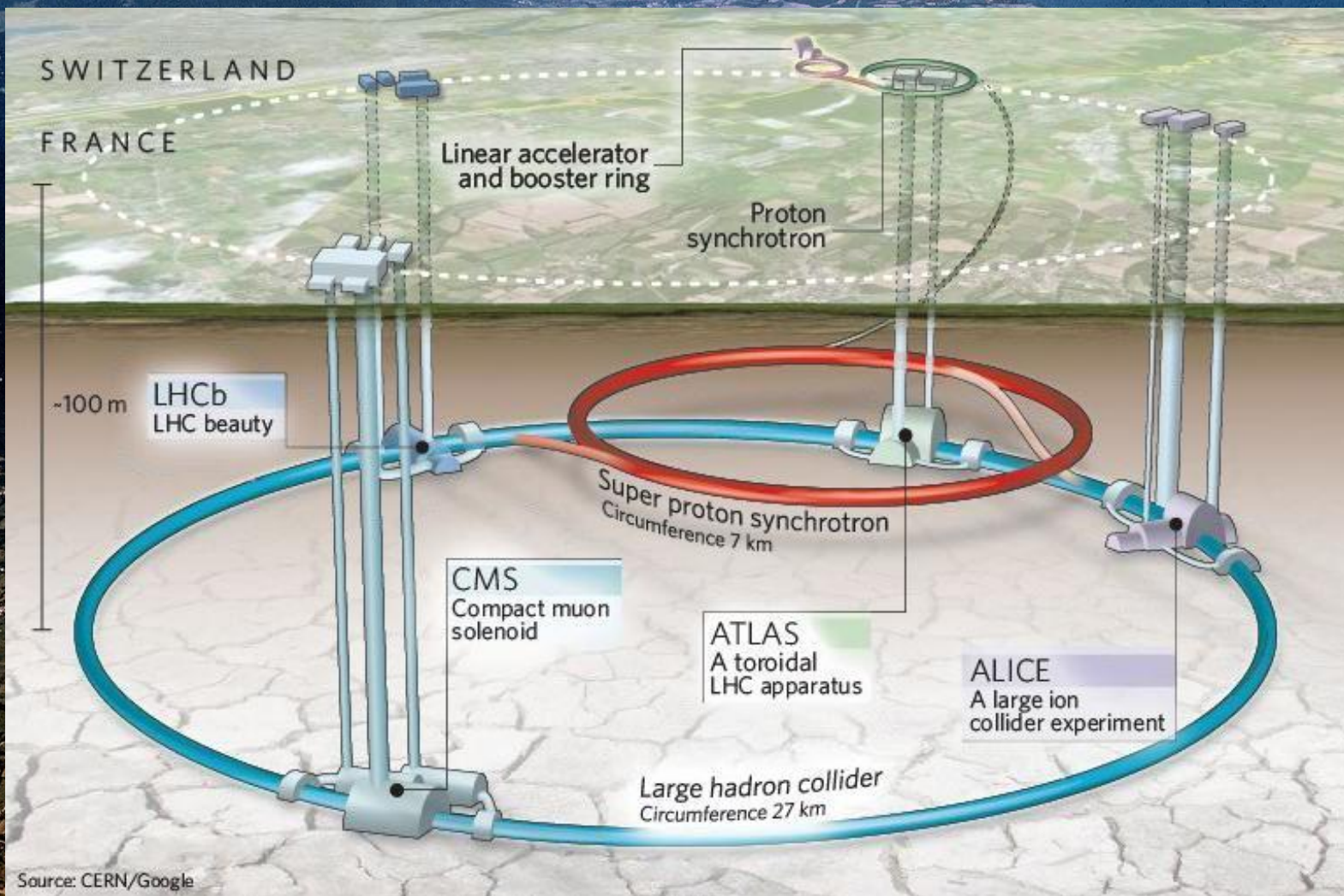


Acceleratorer og detektorer

IHSSP, CERN, 27. september 2021

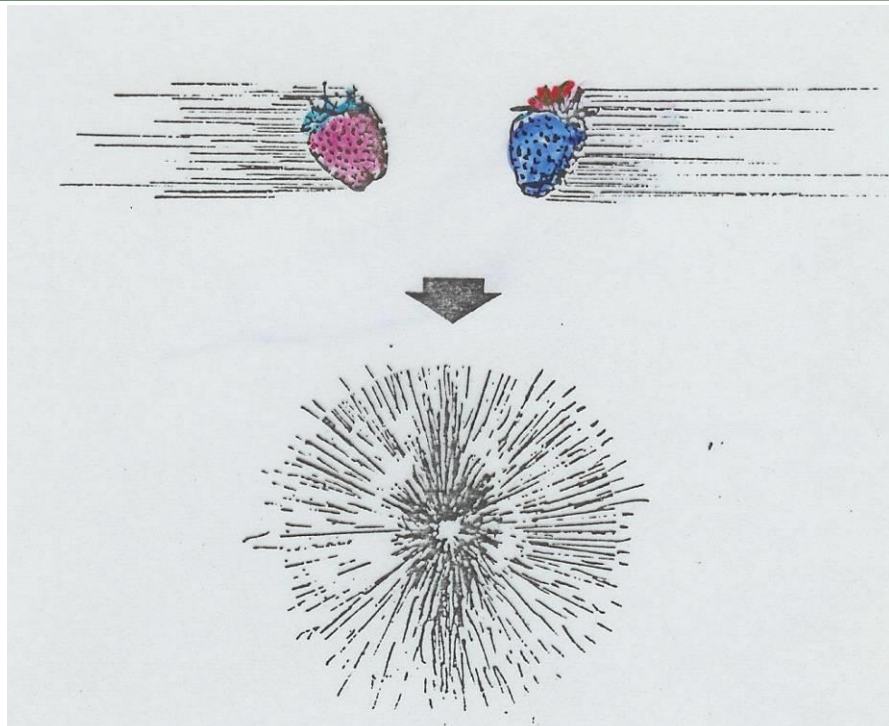
Børge Svane Nielsen, Niels Bohr Institutet, København





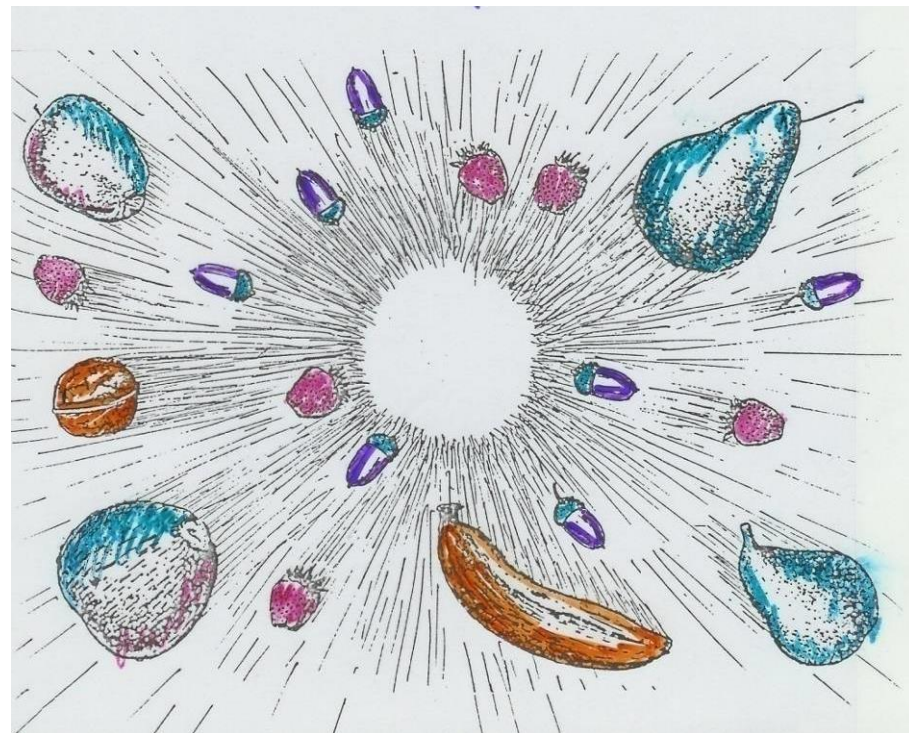


$$E = m c^2 \quad \text{eller} \quad E \approx kT$$



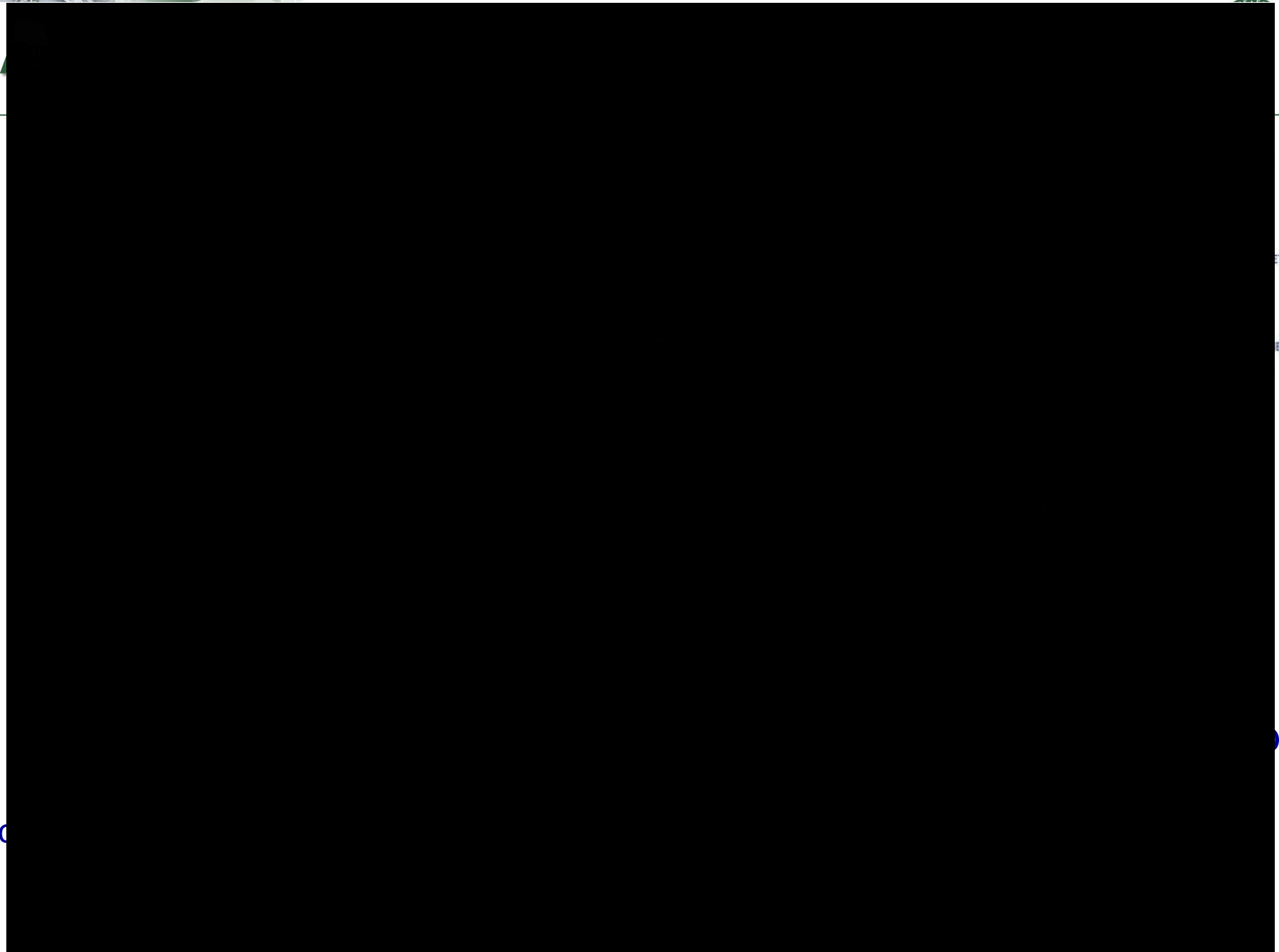
Kollisioner af protoner eller tunge atomkerner

- 1. Omdanner kinetisk energi til stof (masse)**
- 2. Skaber høje stoftætheder ('Mini-Big Bang')**



$$E = 14 \text{ TeV} \Rightarrow m = 14.900 m_p$$

$$\Rightarrow T \approx 1,60 \cdot 10^{17} \text{ K}$$



ET

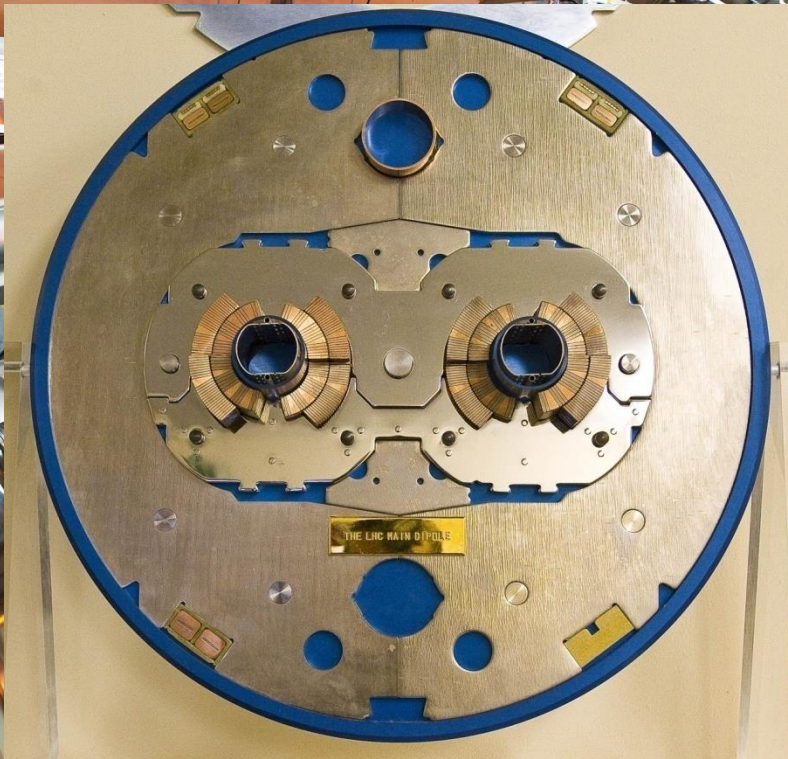
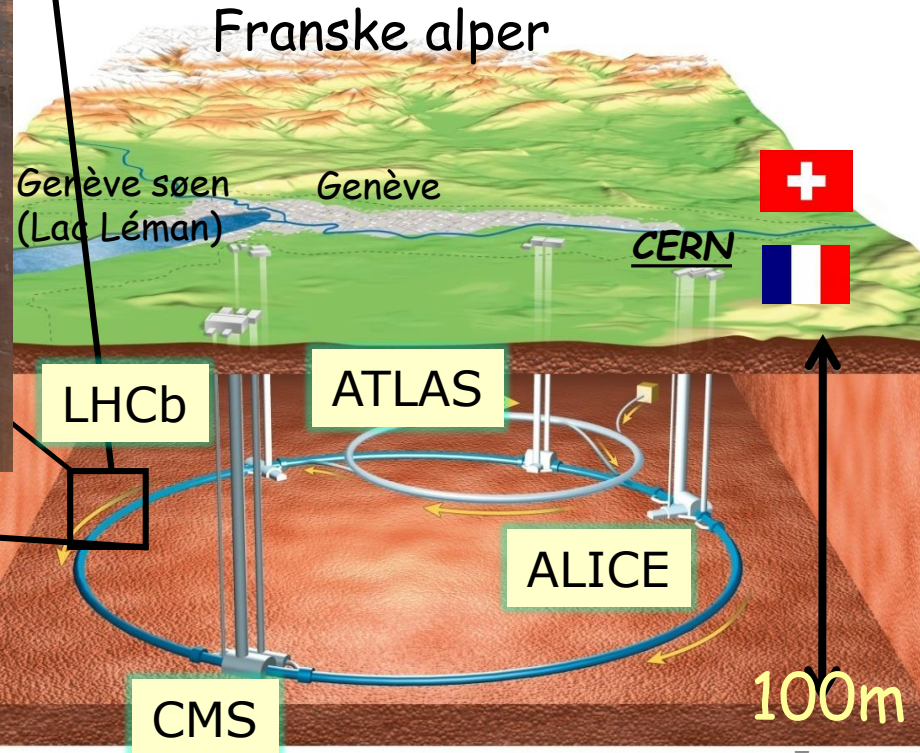
ET

0



Large Hadron Collider

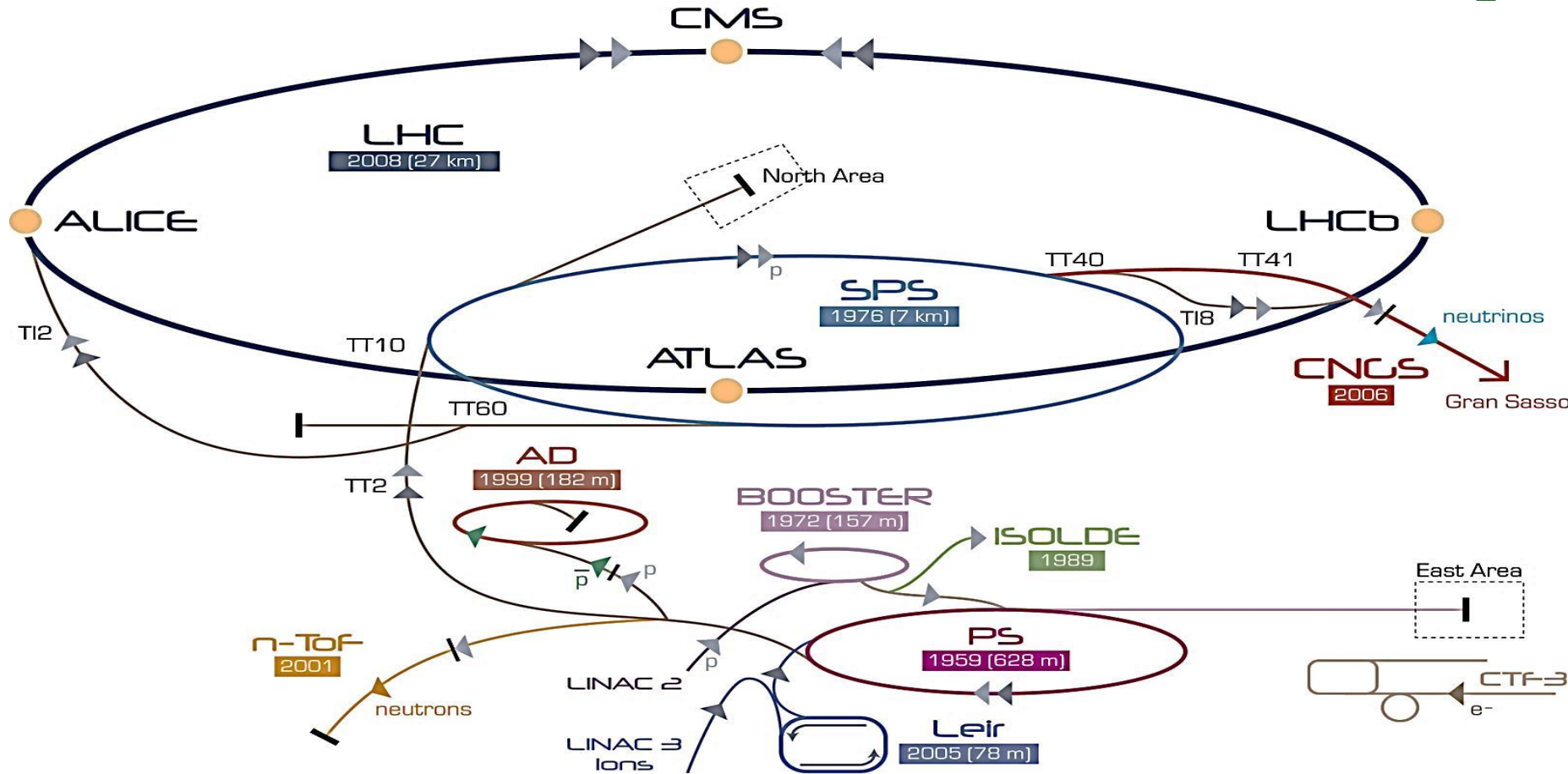
Partiklerne bevæger sig med 99.9999991% af lysets hastighed.
Proton-proton kollisioner med svimlende energi: 14.000.000.000.000 eV
 Svarende til energien af en myg i bevægelse!



Pakker med 100 milliarder partikler
 1.000.000.000 kollisioner i sekundet!
Energien i alle partikler tilsammen er som et eksprestog i fart!



CERNs accelerator kompleks



▶ p [proton] ▶ ion ▶ neutrons ▶ \bar{p} [antiproton] →+→ proton/antiproton conversion ▶ neutrinos ▶ electron

LHC Large Hadron Collider SPS Super Proton Synchrotron PS Proton Synchrotron

AD Antiproton Decelerator CTF-3 Clic Test Facility CNGS Cern Neutrinos to Gran Sasso ISOLDE Isotope Separator OnLine DEvice

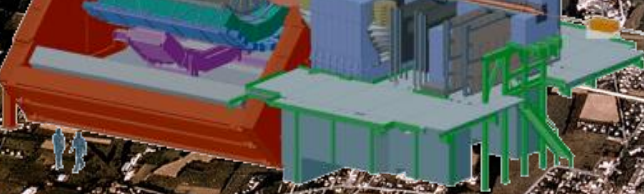
LEIR Low Energy Ion Ring LINAC LINear ACcelerator n-ToF Neutrons Time Of Flight



Eksperimenterne



LHCb



ALICE

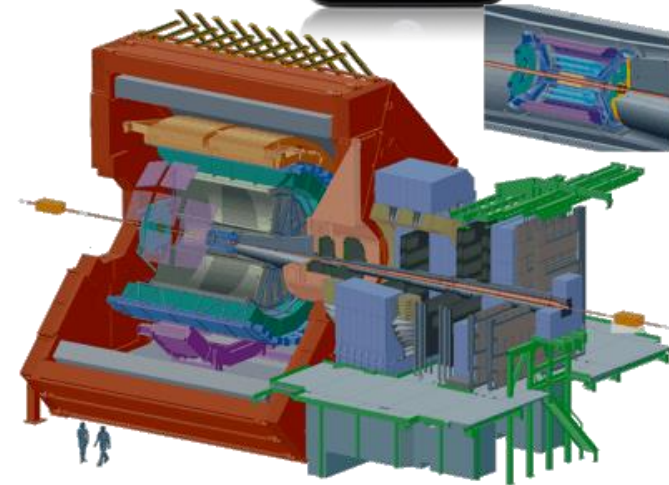


ATLAS

Eksperimenterne/detektorerne



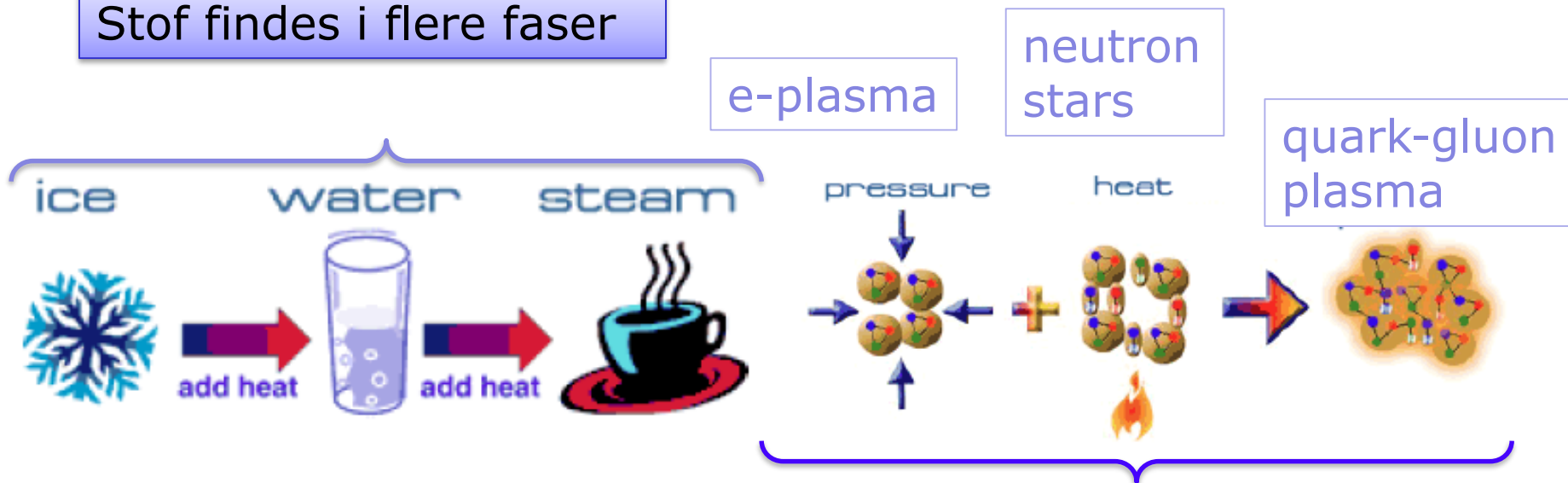
Til verdens største mikroskop **LHC**
behøves
verdens største superkameraer.....



- **3-d**
 - **Ultra-præcise:**
Bedre end tykkelsen af et hår
 - **Ekstremt hurtige:**
40 millioner billeder per sekund
 - **Kæmpestore:**
Skal kunne analysere partikler med høj energi
- Eksperimenterne: **ATLAS, ALICE, CMS og LHCb**

Hvordan laver man Universets "urstof"?

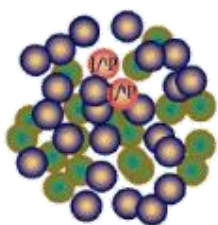
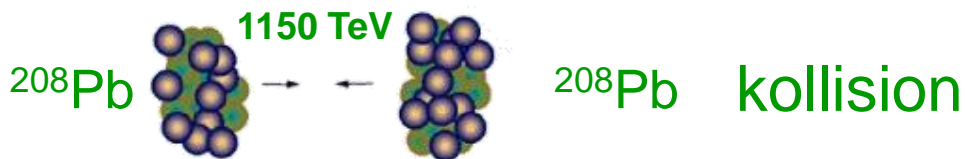
Stof findes i flere faser



- Er det muligt at smelte atomkerner?
- Hvis vi kan gøre det, kan vi forstå det meget tidlige Univers
- Varme + tryk: Blykerner i en accelerator!

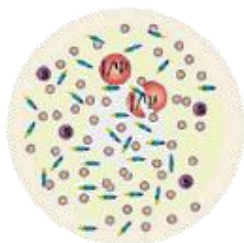


Tunge ioner i LHC

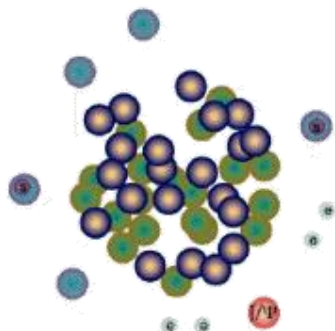


superkerne med
høj energi

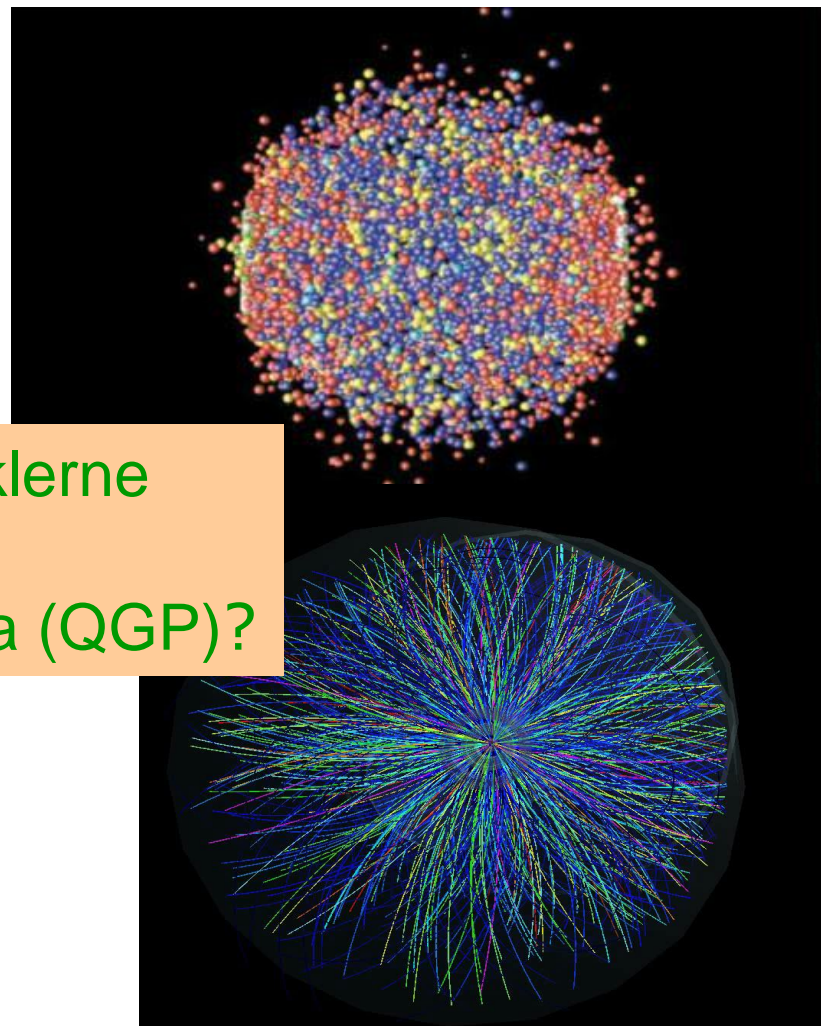
?



smelter kernepartiklerne
sammen til et
kvark-gluon plasma (QGP)?



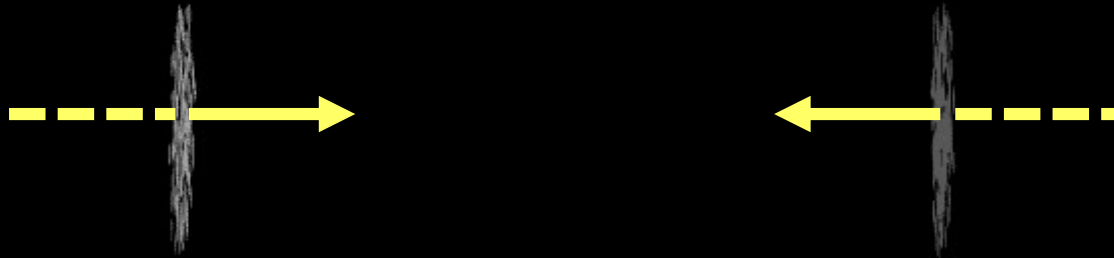
mini Big Bang





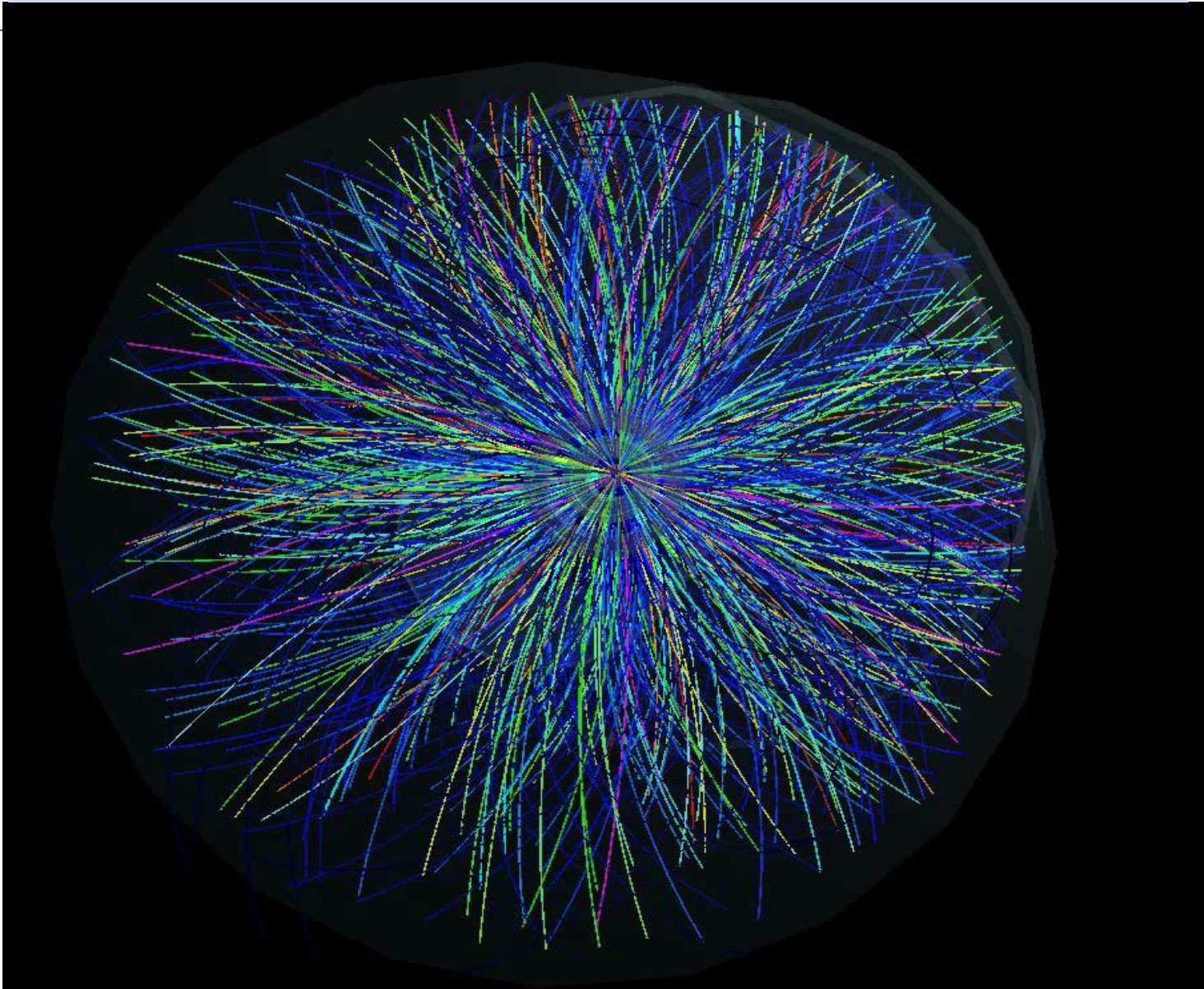
Pb+Pb $E_{cm}=5.5$ TeV

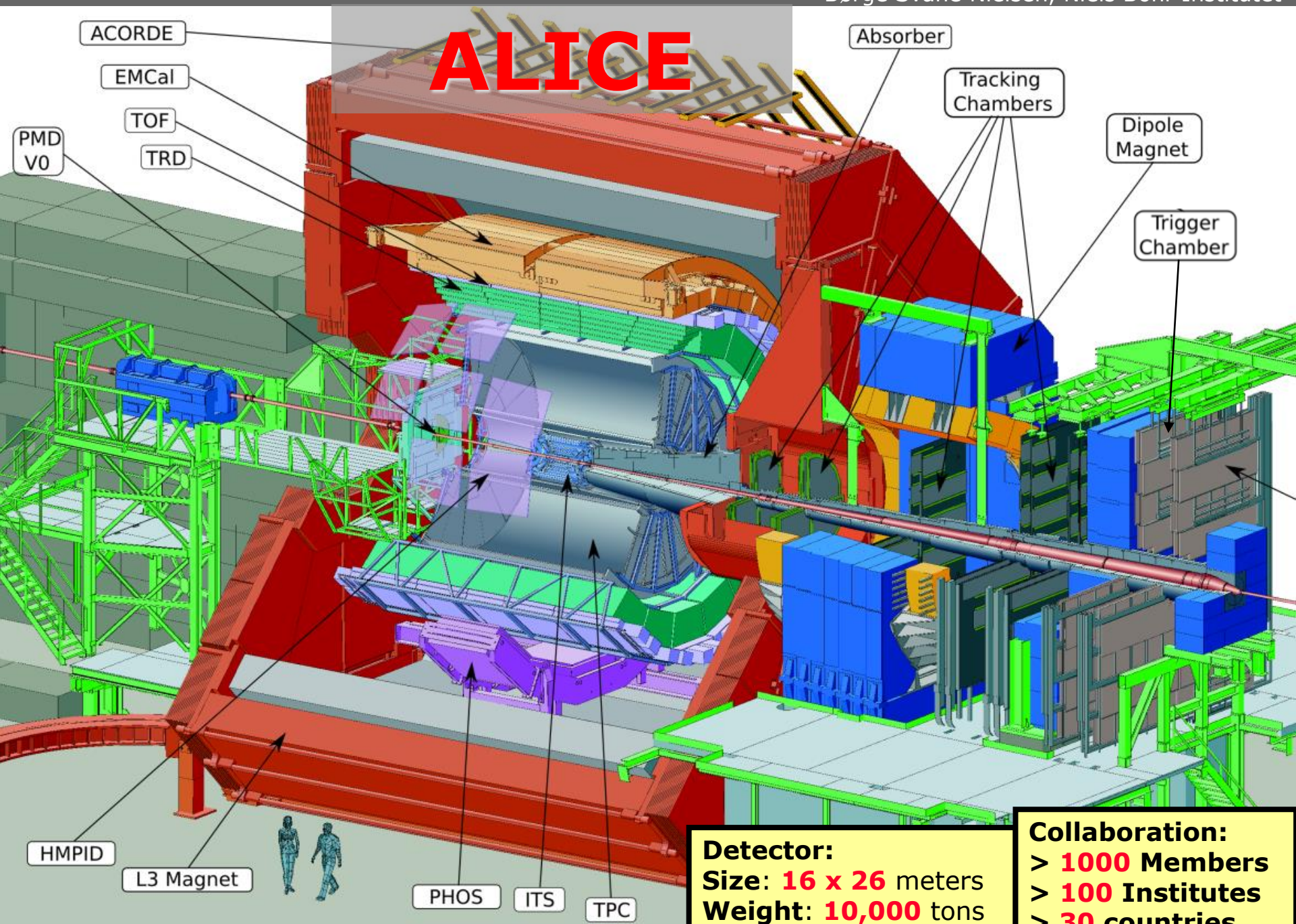
$t=-19.00$ fm/c

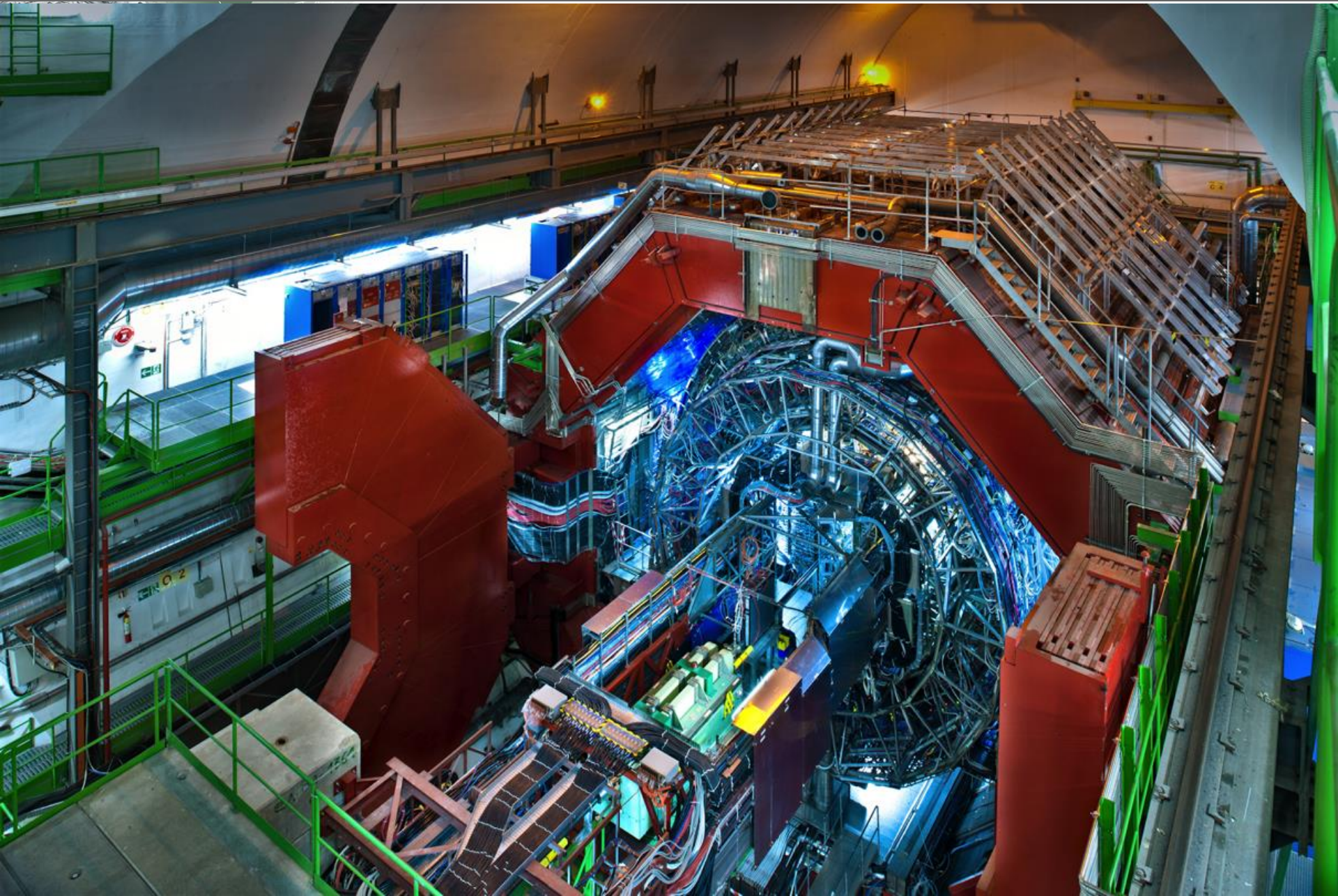


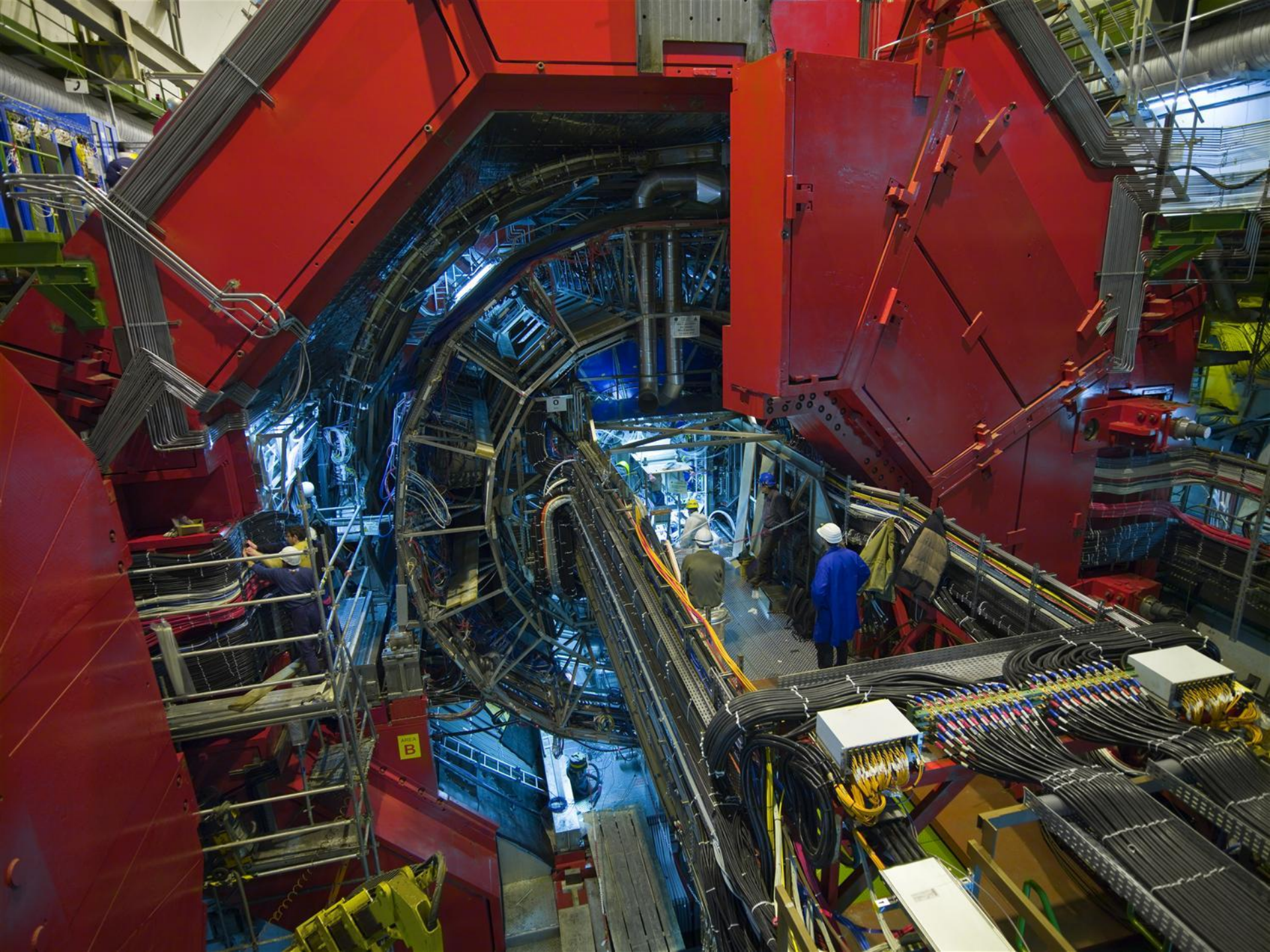
H. Weber / UrQMD Frankfurt/M

Pb-Pb sammenstød, 574 TeV, set i ALICE











ALICE: Hovedtyper af detektorer

- og deres formål:

a. Tids- og hit-målere:
start tid / trigger
koincidens

scintillationstællere
silicium detektorer

b. Spordetektorer:
impulsmåling
henfald (V's and "kinks")

gasdetektorer
silicium detektorer

c. Partikel-identifikation:
adskil efter masse

dE/dx (ionisering)
time-of-flight (TOF)
Cherenkov detektorer
kalorimetre

adskil ved vekselvirkning



ALICE: Hovedtyper af detektorer

- og deres formål:

a. Tids- og hit-målere:
start tid / trigger
koincidens

scintillationstællere
silicium detektorer

b. Spordetektorer:
impulsmåling
henfald (V's and "kinks")

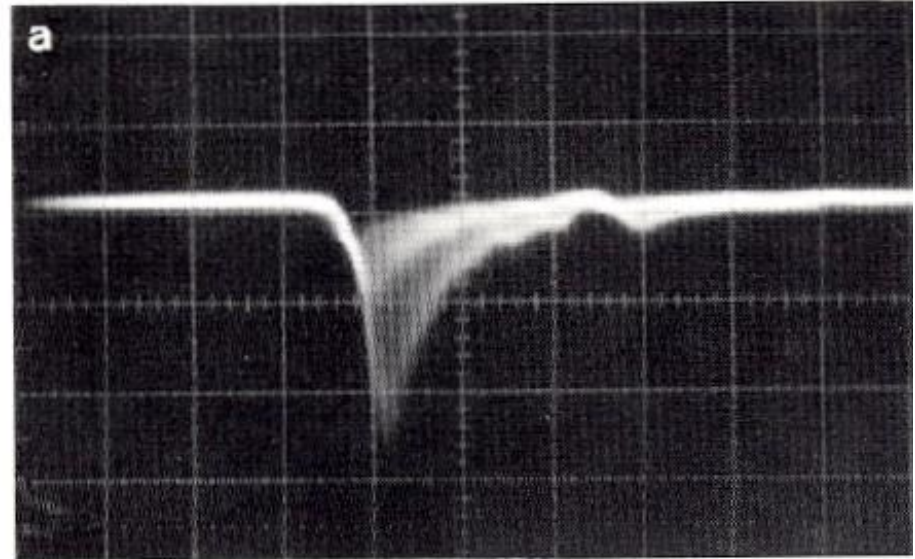
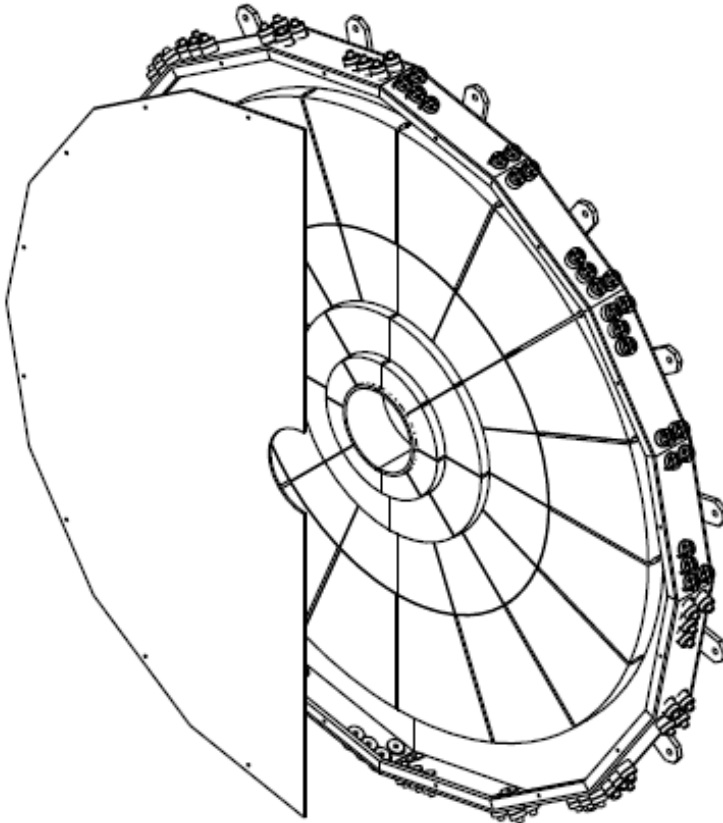
gasdetektorer
silicium detektorer

c. Partikel-identifikation:
adskil efter masse

dE/dx (ionisering)
time-of-flight (TOF)
Cherenkov detektorer
kalorimetre

adskil ved vekselvirkning

V0: Plastik scintillator



Plastic scintillator

Plastic

Vert. scale : 0.2 V/cm

Hor. scale : 10 ns/cm

Source : ^{207}Bi 10 μCi

10 nsec / division



ALICE: Hovedtyper af detektorer

- og deres formål:

a. Tids- og hit-målere:
start tid / trigger
koincidens

scintillationstællere
silicium detektorer

b. Spordetektorer:
impulsmåling
henfald (V's and "kinks")

gasdetektorer
silicium detektorer

c. Partikel-identifikation:
adskil efter masse

dE/dx (ionisering)
time-of-flight (TOF)
Cherenkov detektorer
kalorimetre

adskil ved vekselvirkning

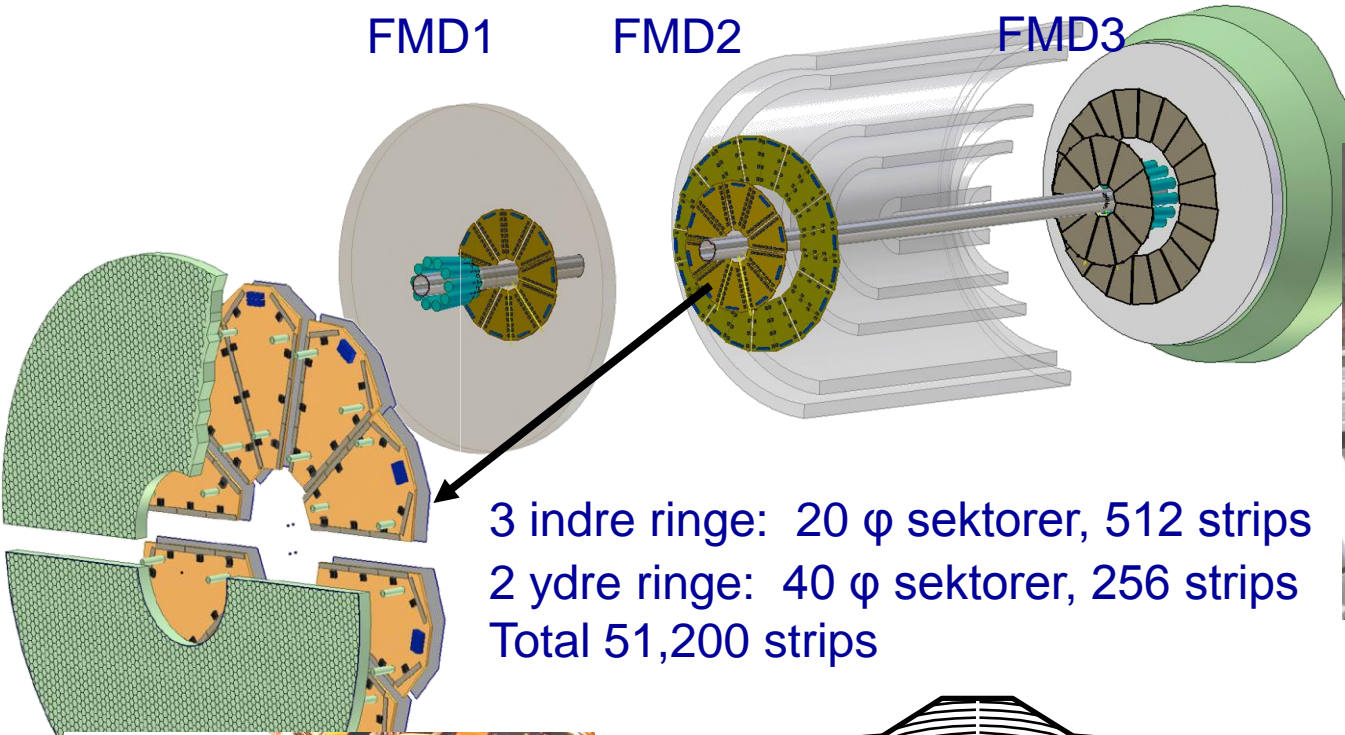


FMD: Silicium strip detektor

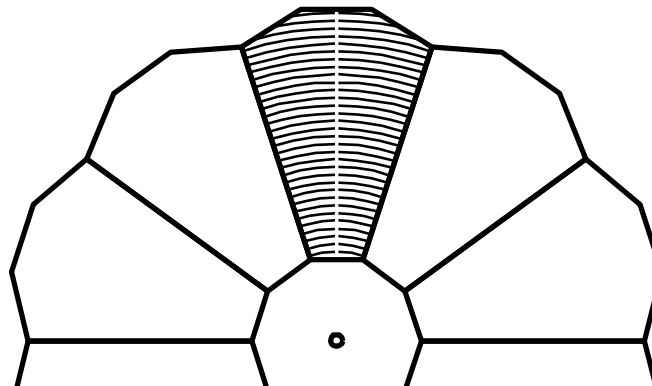
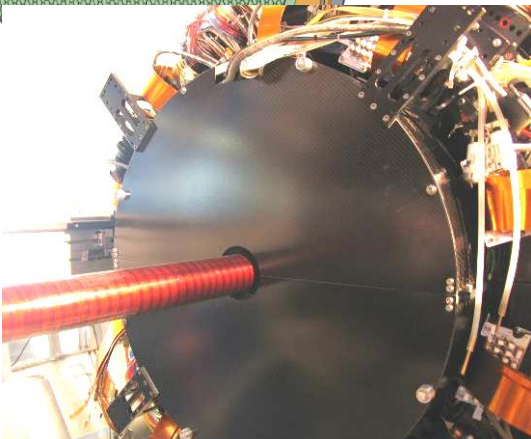
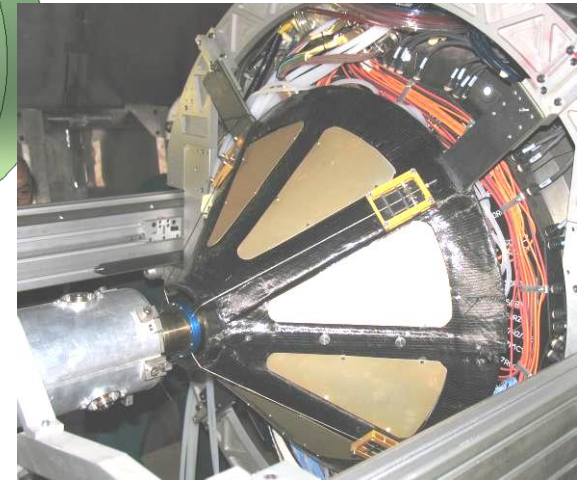
FMD1

FMD2

FMD3



3 indre ringe: 20 φ sektorer, 512 strips
2 ydre ringe: 40 φ sektorer, 256 strips
Total 51,200 strips

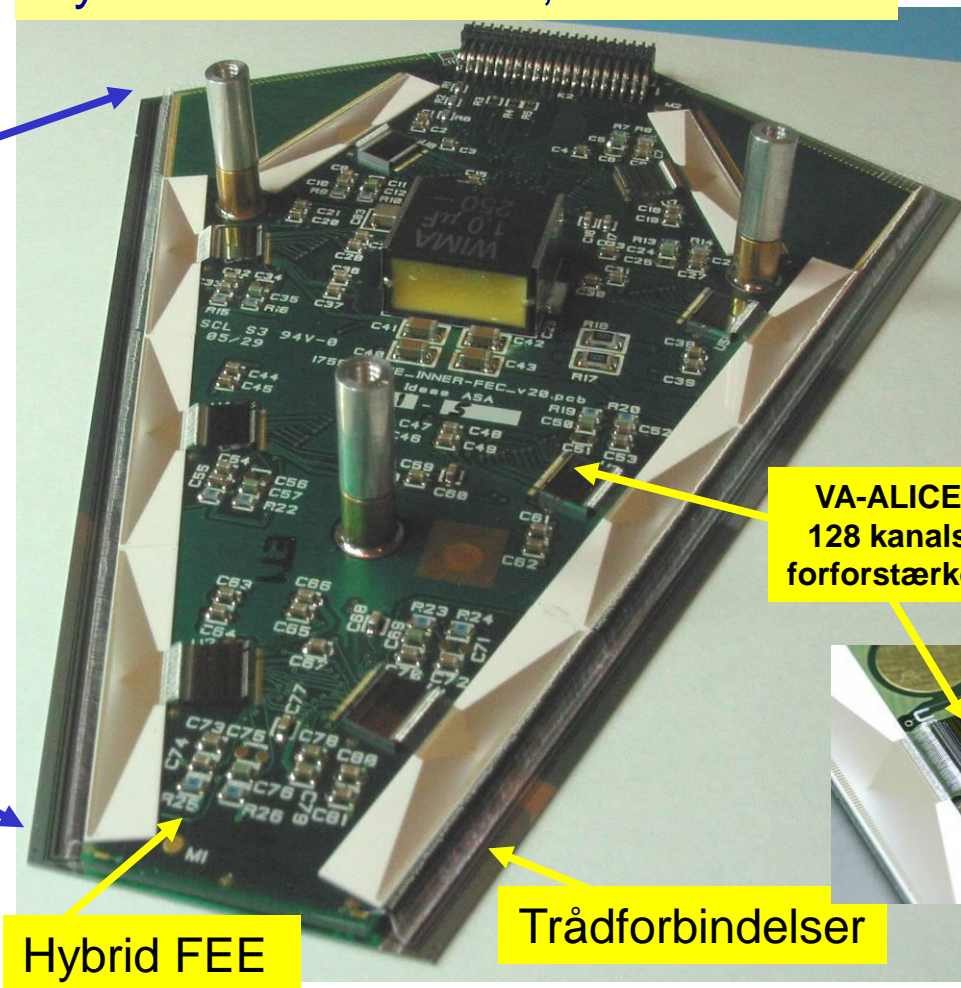
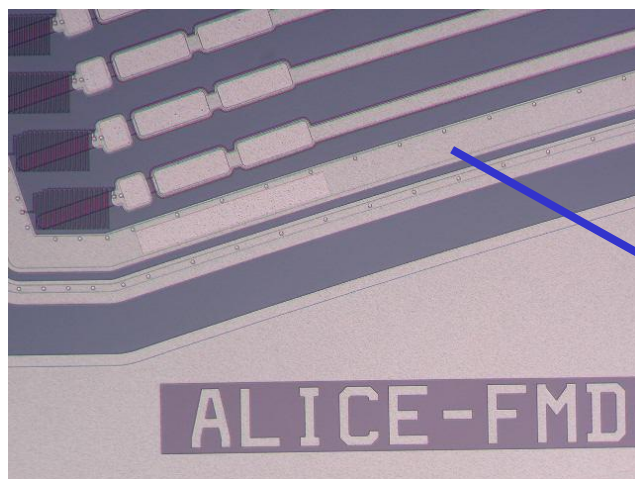
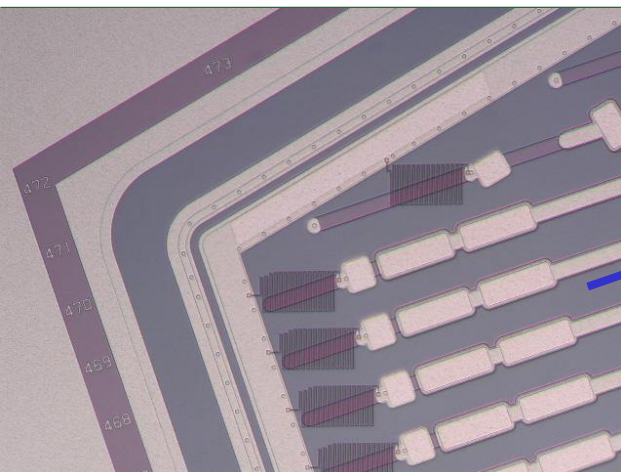




Silicium sensorer og hybrider



Sensorer fra Hamamatsu Photonics
Hybrider fra Ideas AS, Oslo

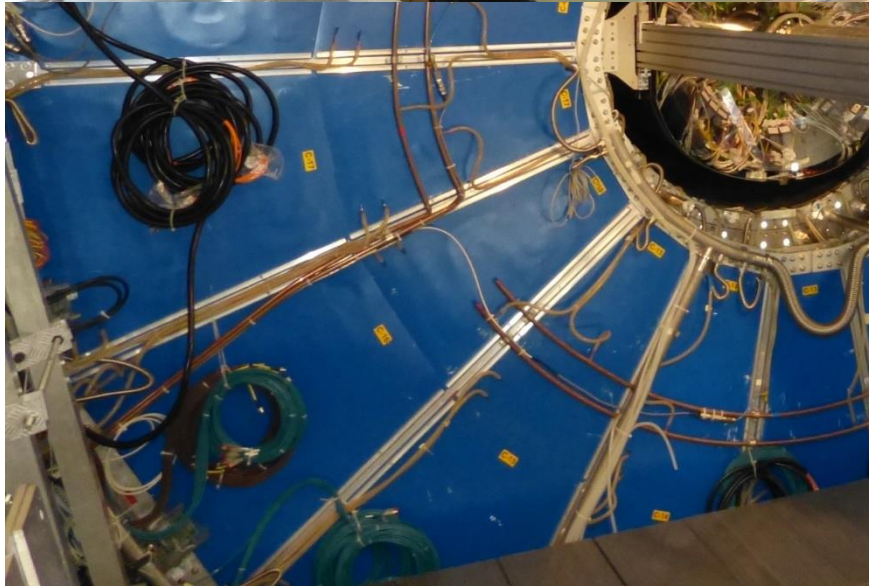
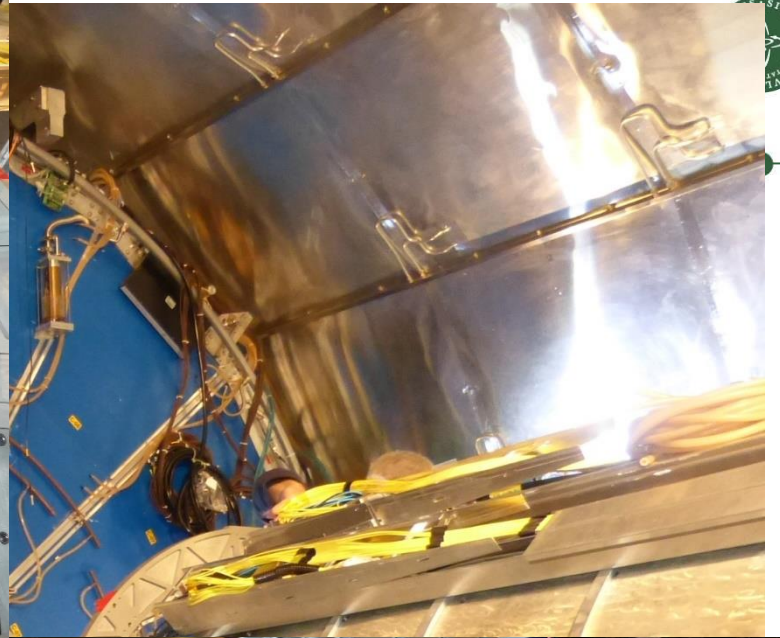


VA-Alice
128 kanals
forforstærker

Trådforbindelser

Hybrid FEE







ALICE: Hovedtyper af detektorer

- og deres formål:

a. Tids- og hit-målere:
start tid / trigger
koincidens

scintillationstællere
silicium detektorer

b. Spordetektorer:
impulsmåling
henfald (V's and "kinks")

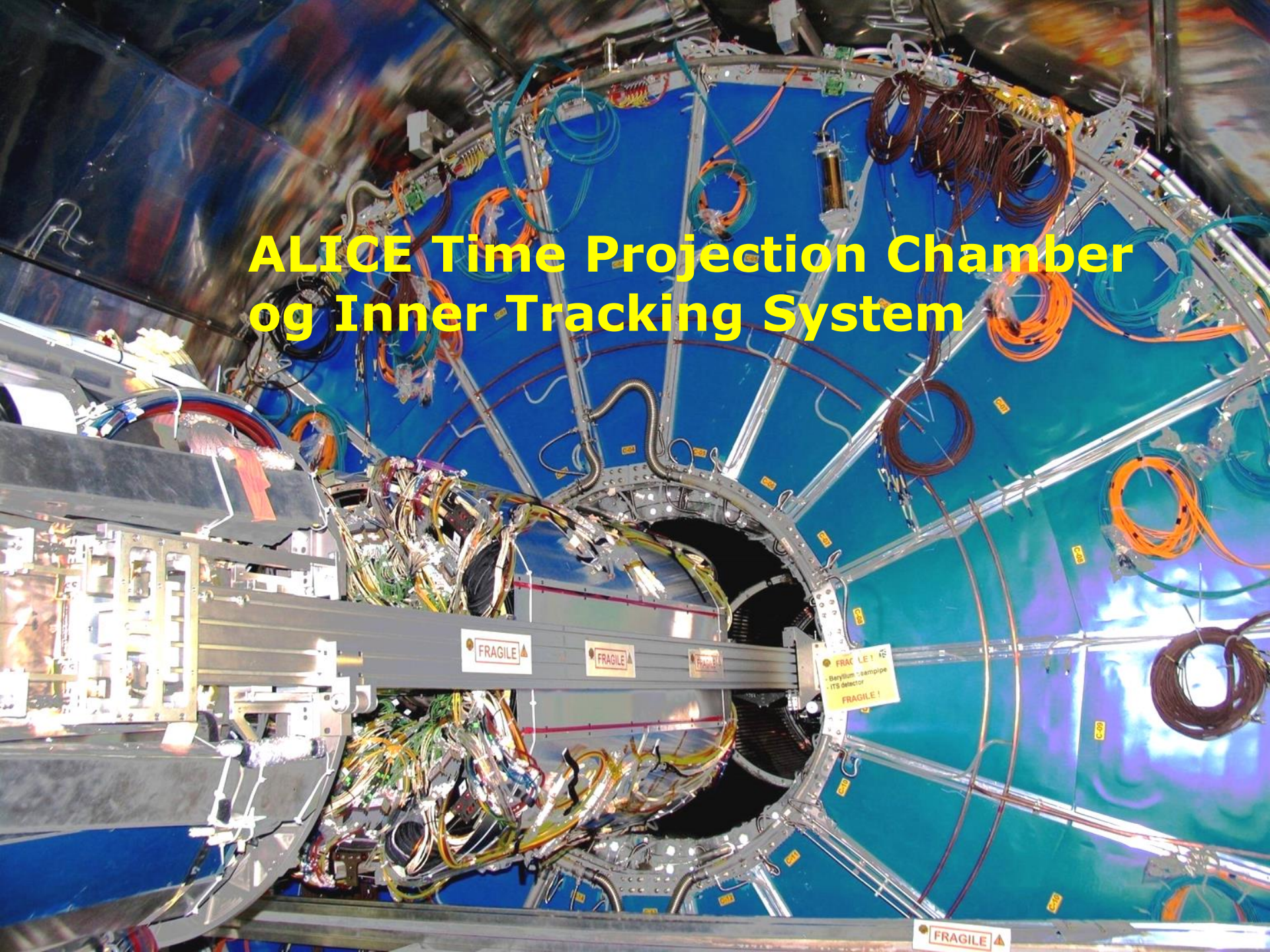
gasdetektorer
silicium detektorer

c. Partikel-identifikation:
adskil efter masse

dE/dx (ionisering)
time-of-flight (TOF)
Cherenkov detektorer
kalorimetre

adskil ved vekselvirkning

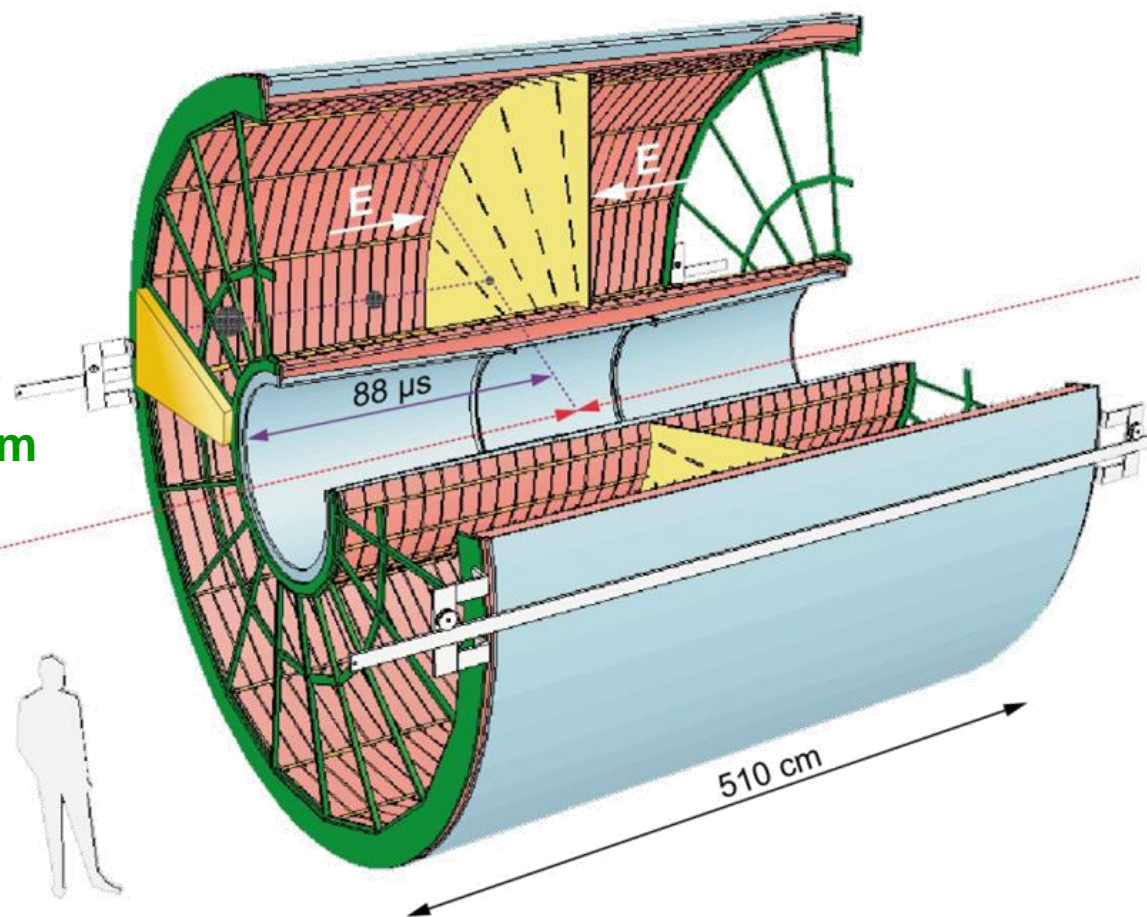
ALICE Time Projection Chamber og Inner Tracking System



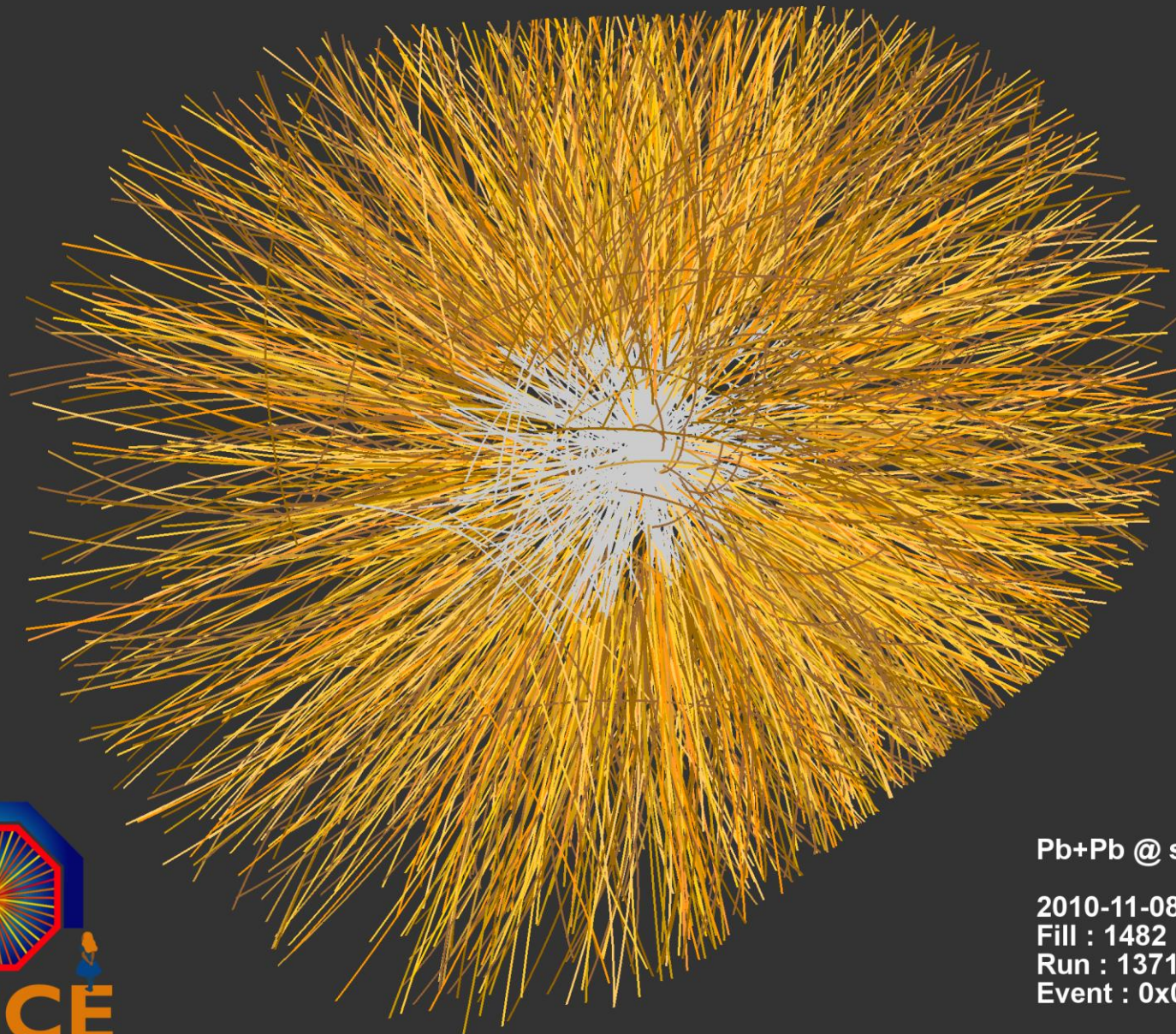


ALICE Time Projection Chamber

- Active volume 88 m³
- Gas Ne/CO₂/N₂ 90/10/5
- Drift field 400V/cm
- Gas gain >10⁴
- Position resolution $\sigma = 0.25\text{mm}$
- Diffusion: $\sigma_t = 250\mu\text{m} \sqrt{cm}$
- Pads inside: 4x7.5mm
- Pads outside: 6x15mm
- B-field: 0.5T



Et af de første Pb-Pb sammenstød set i ALICE



Pb+Pb @ $\sqrt{s} = 2.76$ ATeV

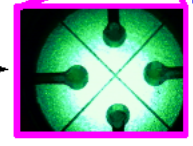
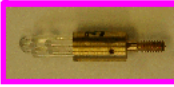
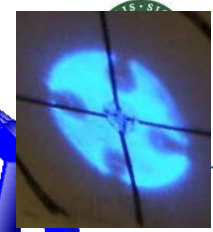
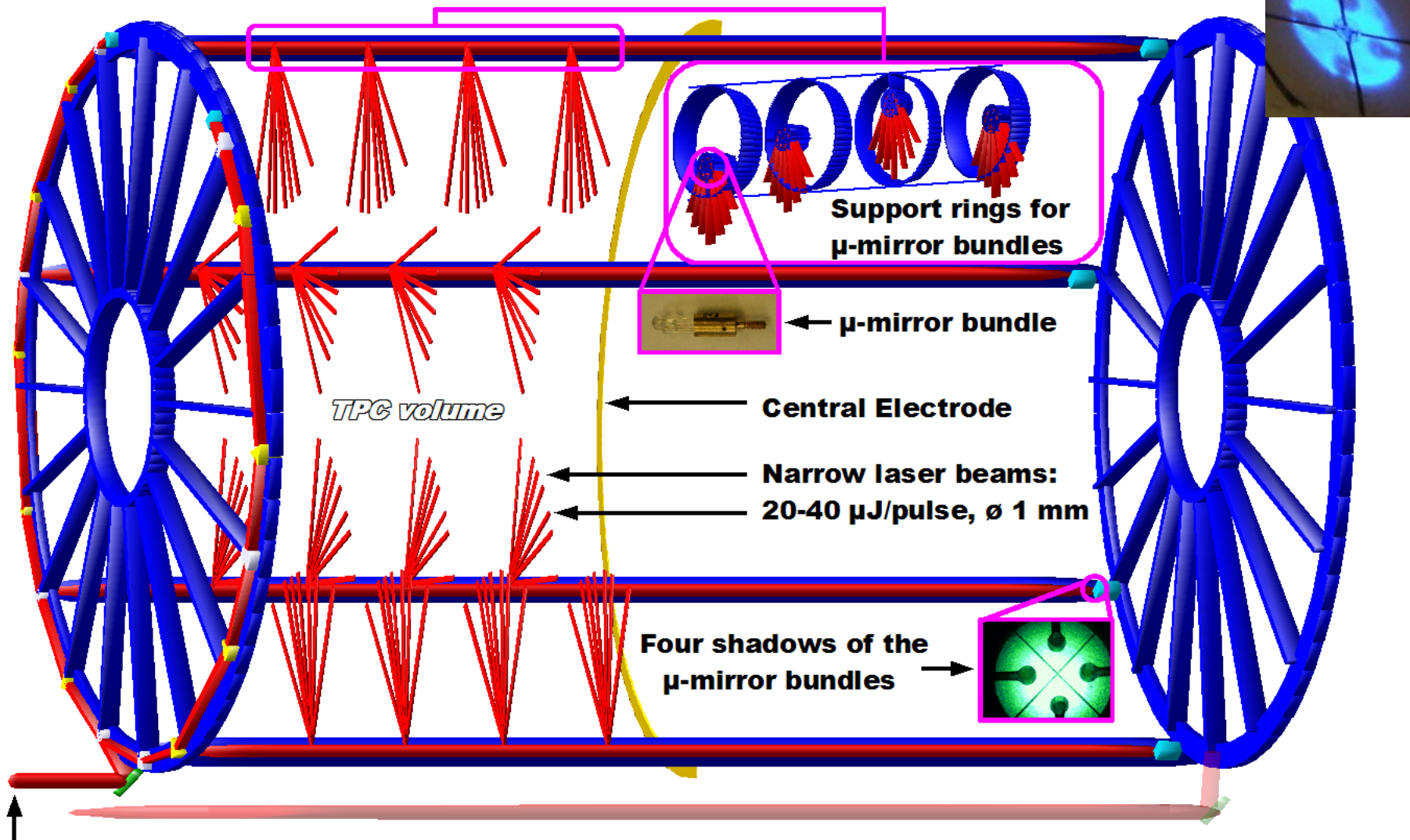
2010-11-08 11:29:42

Fill : 1482

Run : 137124

Event : 0x00000000271EC693

The principle of the laser system for the TPC



**Wide laser beams: 266 nm,
100 mJ/pulse, 5 ns pulse, \varnothing 25 mm**

 **laser beam**
 **prism**

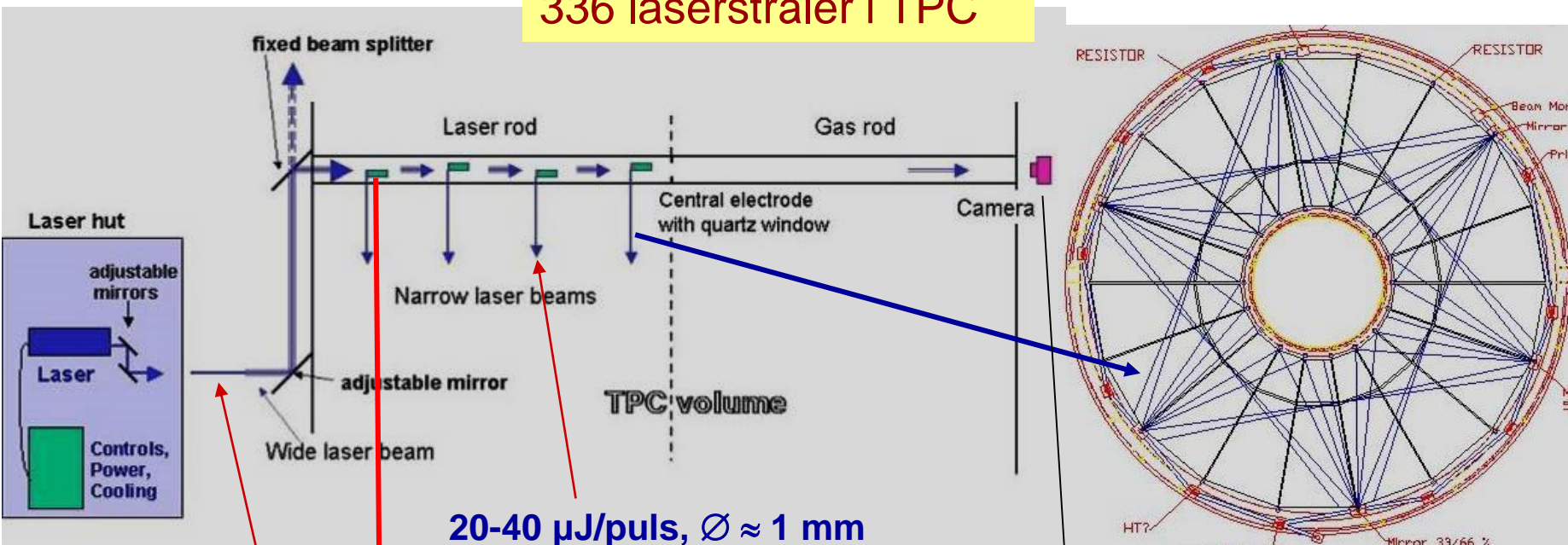
 **splitter**
 **camera**

 **adjustable mirror**
 **rod**



TPC laser calibration

336 laserstråler i TPC

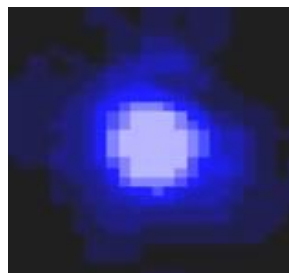


20-40 $\mu\text{J}/\text{puls}$, $\varnothing \approx 1 \text{ mm}$

266 nm, 100 mJ/puls, 5 ns puls, $\varnothing \approx 25 \text{ mm}$



1.5 mm

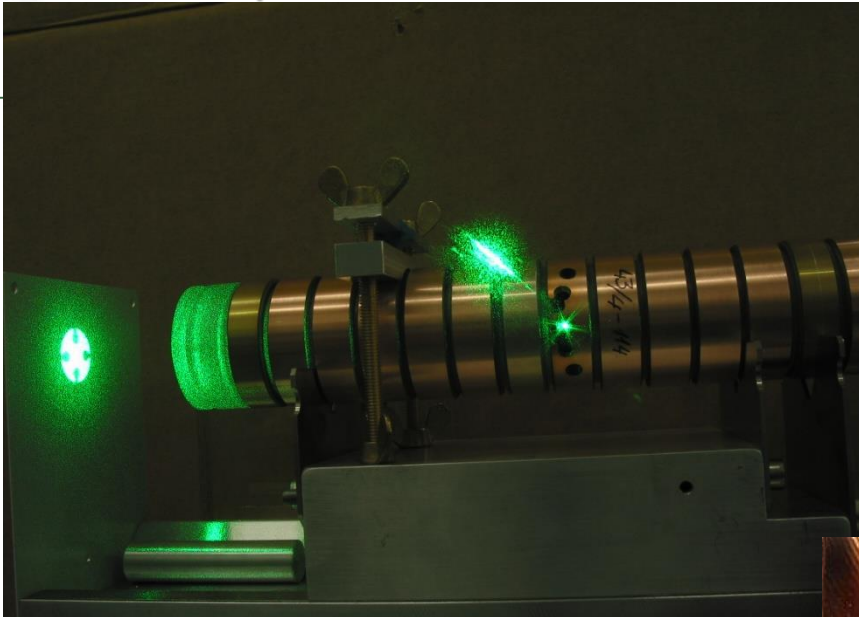


25 mm





Optiske komponenter indeni TPC volumenet

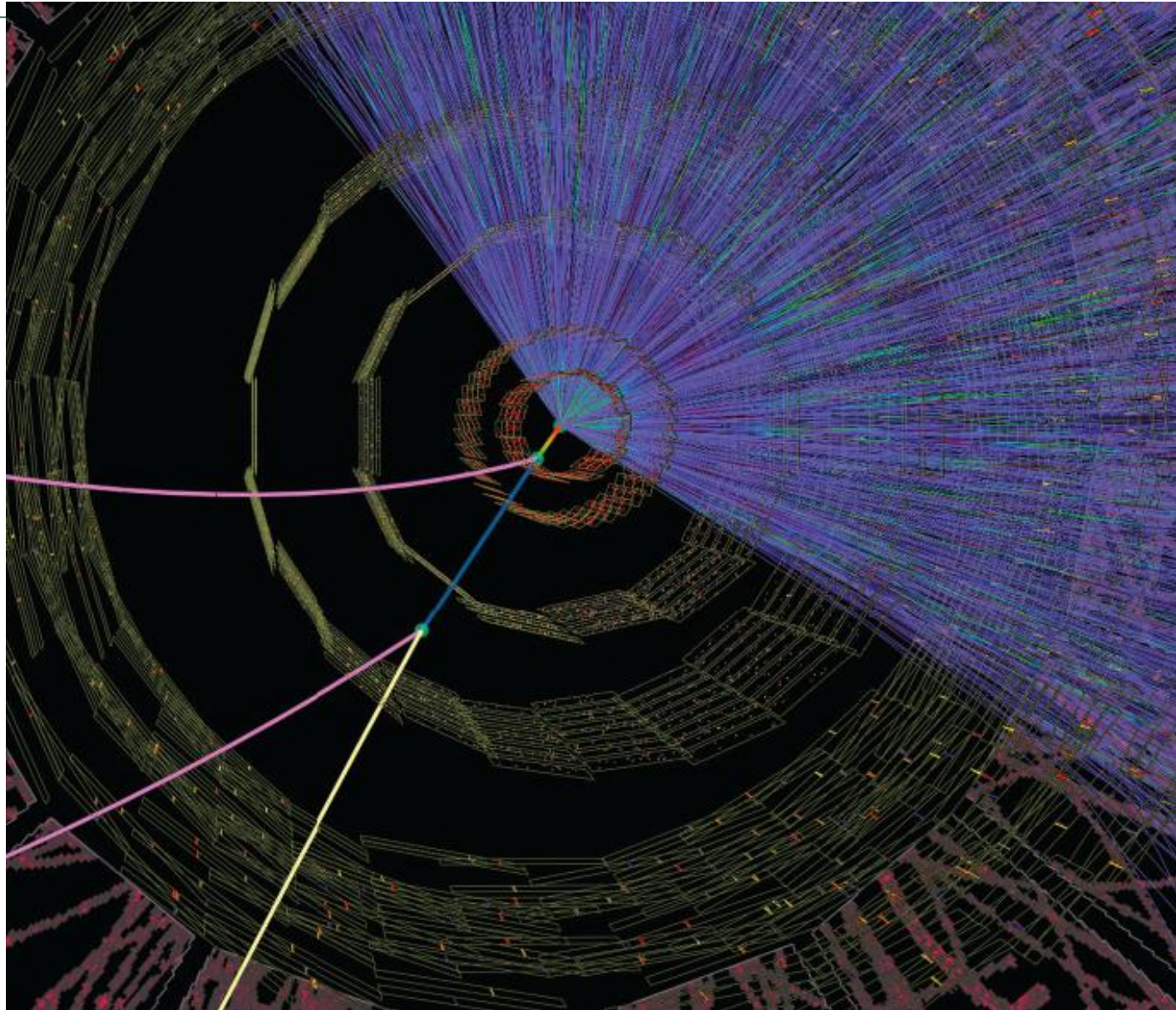




Godt vi har computere ...

i venstre del er
en masse
'uinteressante'
partikelspor
fjernet for at
øjet kan se,
hvad
computeren
har fundet:

$$E^- \rightarrow \Lambda \pi^-$$





ALICE: Hovedtyper af detektorer

- og deres formål:

a. Tids- og hit-målere:
start tid / trigger
koincidens

scintillationstællere
silicium detektorer

b. Spordetektorer:
impulsmåling
henfald (V's and "kinks")

gasdetektorer
silicium detektorer

c. Partikel-identifikation:
adskil efter masse

dE/dx (ionisering)
time-of-flight (TOF)
Cherenkov detektorer

adskil ved vekselvirkning

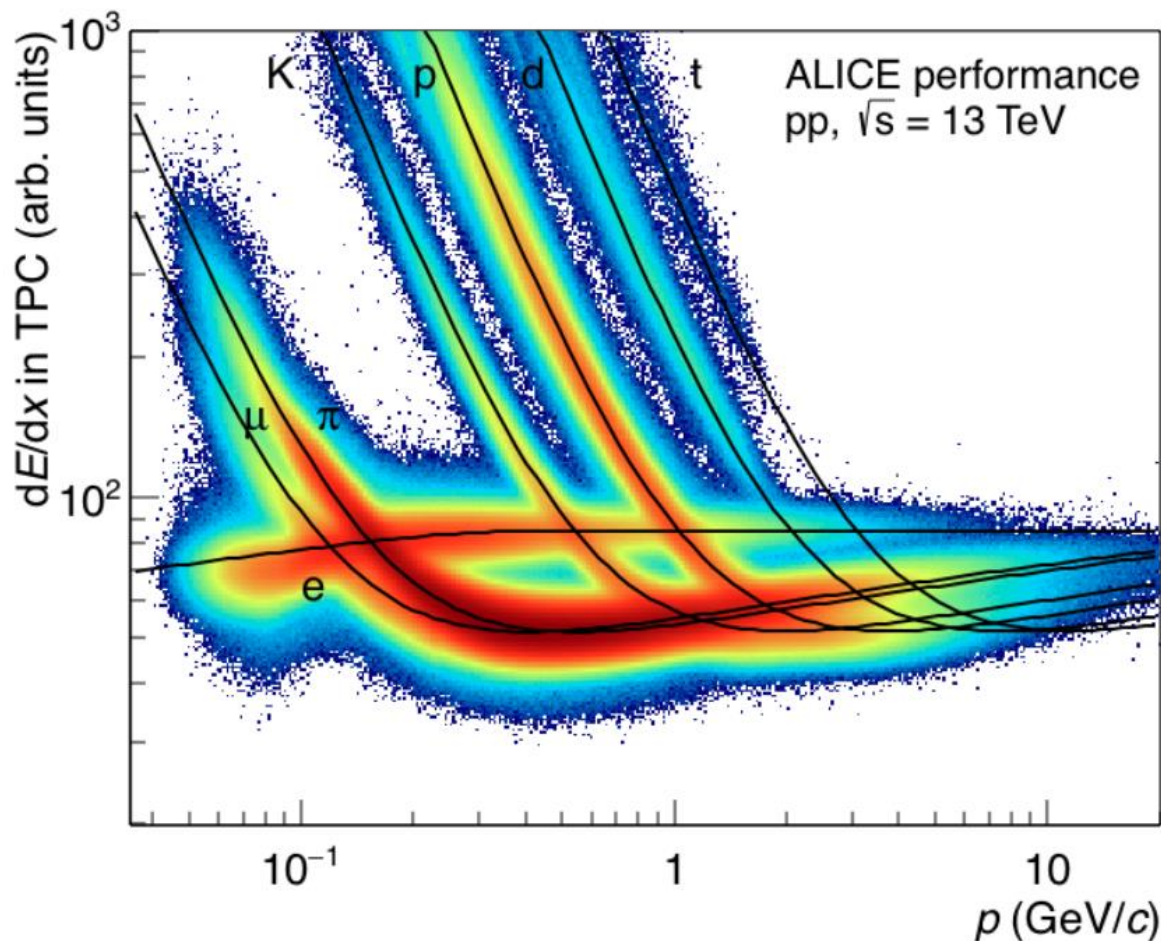
kalorimetre

ALICE dE/dx identifikation i TPC

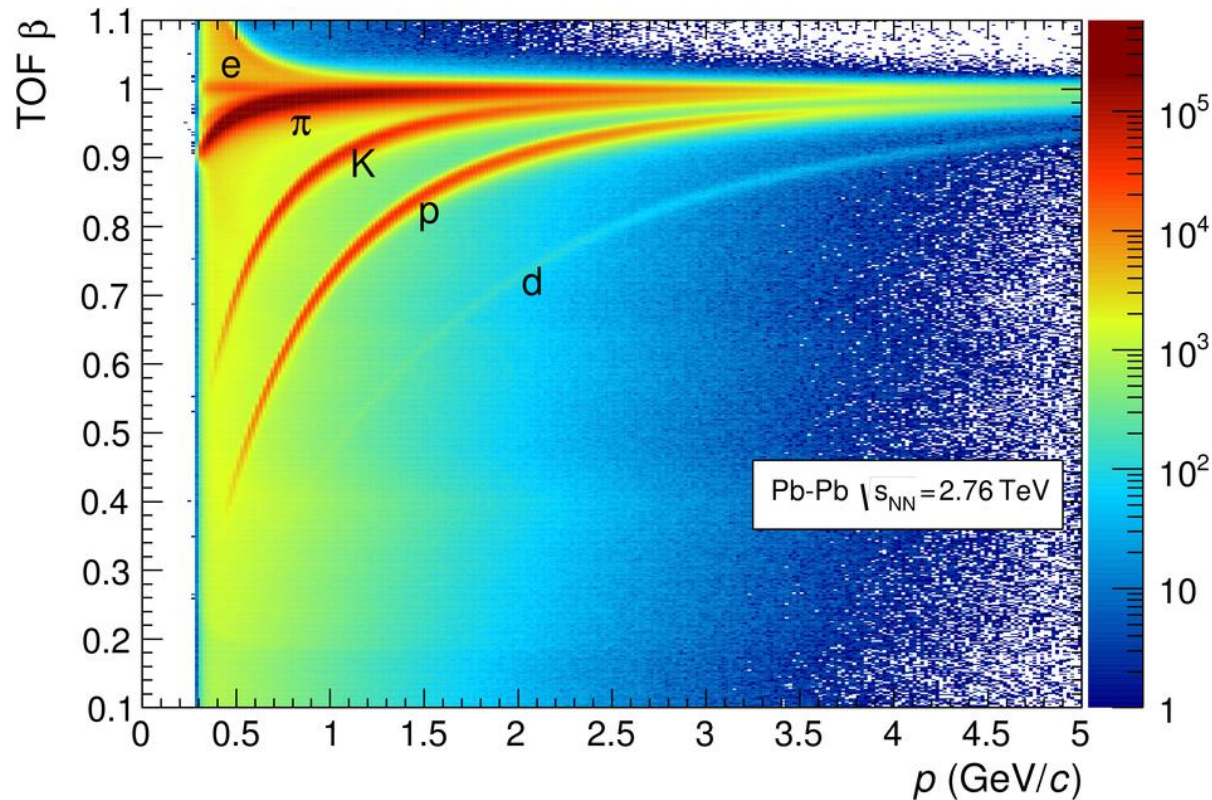


Bethe Bloch:

$$-\frac{dE}{dx} = \frac{Dq^2n_e}{\beta^2} \left[\ln \left(\frac{2m_e c^2 \beta^2 \gamma^2}{I} \right) - \beta^2 - \frac{\delta(\gamma)}{2} \right]$$



Time-of-Flight detektorer (TOF)



Bestem partiklens masse, m , ved:

$$\mathbf{p} = \gamma m \beta c$$

impuls \mathbf{p} måles med en spordetektor i magnetfelt

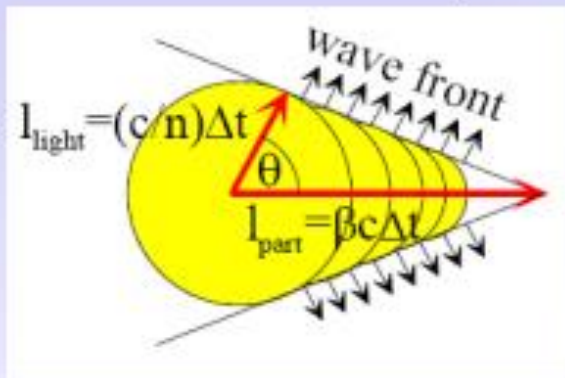
$\beta c = v = L/T$ måles i en spordetektor + TOF

$$\gamma = 1/\sqrt{1 - \beta^2}$$

Cherenkov detektorer

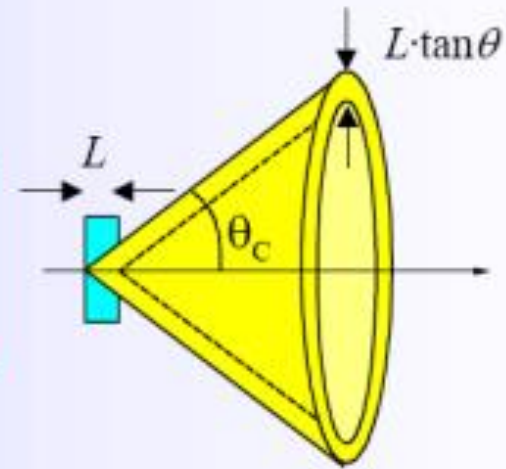
Cherenkov stråling udsendes når en ladet partikel bevæger sig gennem et materiale hurtigere end lyshastigheden i materialet (chockbølge).

with velocity $\beta \geq \beta_{thr} = \frac{1}{n}$ n : refractive index



$$\cos \theta_C = \frac{1}{n\beta}$$

with $n = n(\lambda) \geq 1$



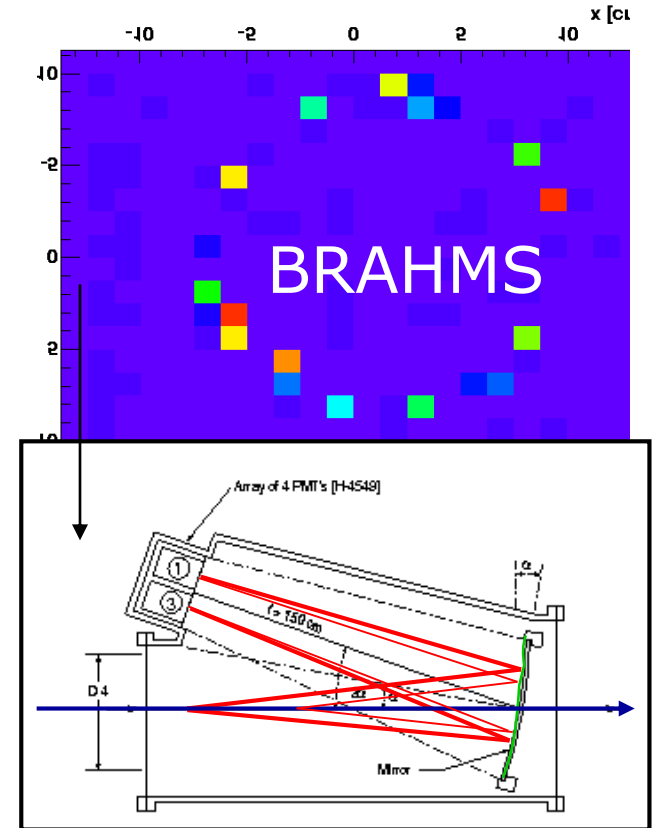
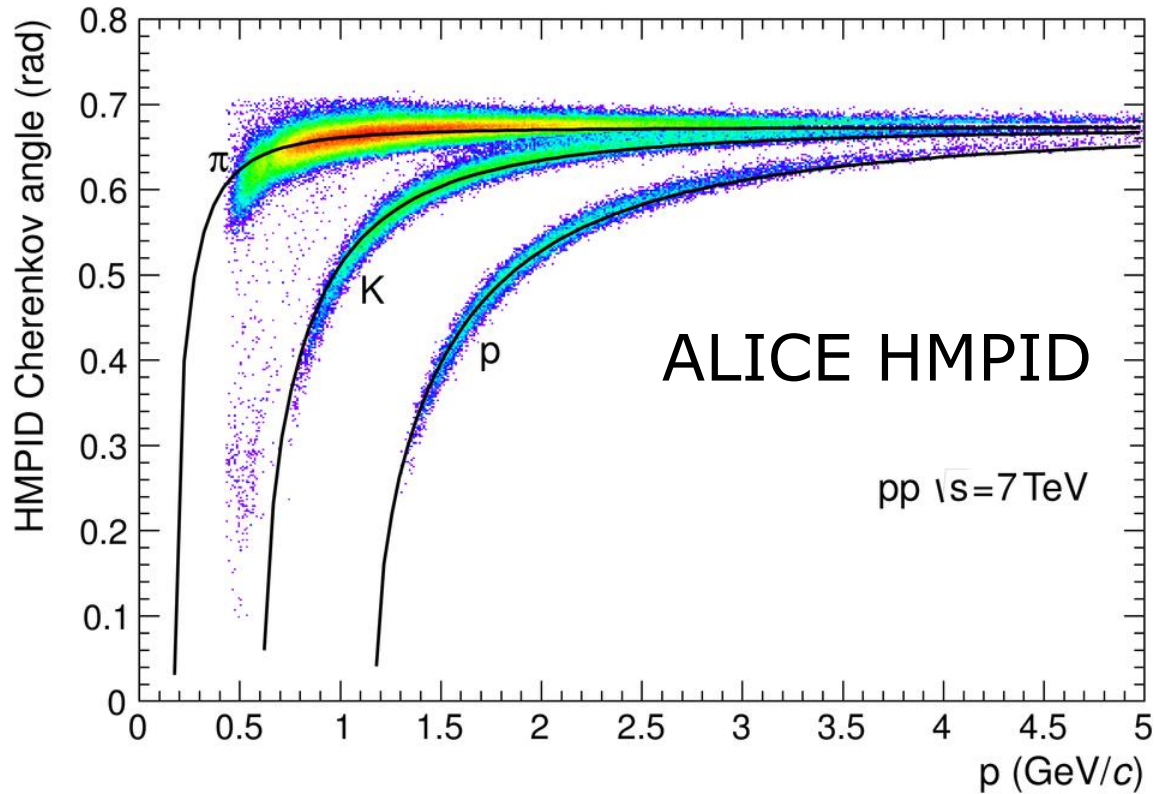
■ $\beta_{thr} = \frac{1}{n} \rightarrow \theta_C \approx 0$ Cherenkov threshold

■ $\theta_{max} = \arccos \frac{1}{n}$ 'saturated' angle ($\beta=1$)

Cherenkov detektorer bruges som

- tærskel tællere
- Ring Imaging Cherenkov (RICH) detektorer

Ring Imaging Cherenkov detektorer



Ringens radius i en RICH afhænger af hastigheden.

En RICH bruges til at identificere hadroner direkte eller som VETO-tæller.



ALICE: Hovedtyper af detektorer

- og deres formål:

a. Tids- og hit-målere:
start tid / trigger
koincidens

scintillationstællere
silicium detektorer

b. Spordetektorer:
impulsmåling
henfald (V's and "kinks")

gasdetektorer
silicium detektorer

c. Partikel-identifikation:
adskil efter masse

dE/dx (ionisering)
time-of-flight (TOF)
Cherenkov detektorer

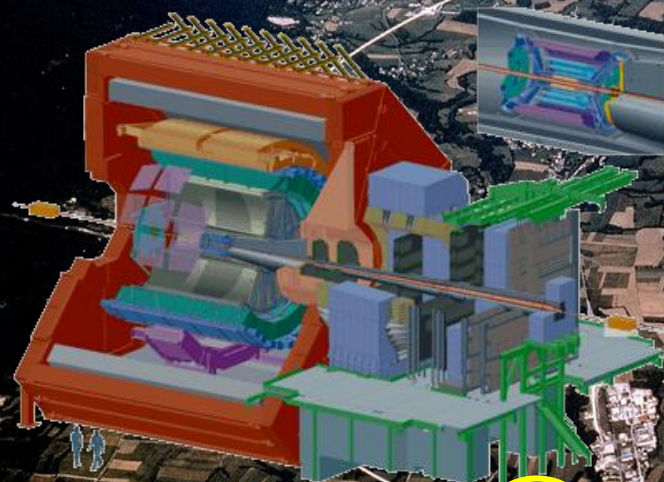
adskil ved vekselvirkning

kalorimetre

Elektromagnetiske eller hadroniske kalorimetre



LHC og de to "danske" LHC eksperimenter



ALICE



ATLAS

